

# (5) ニュートリノ振動と 超新星元素合成

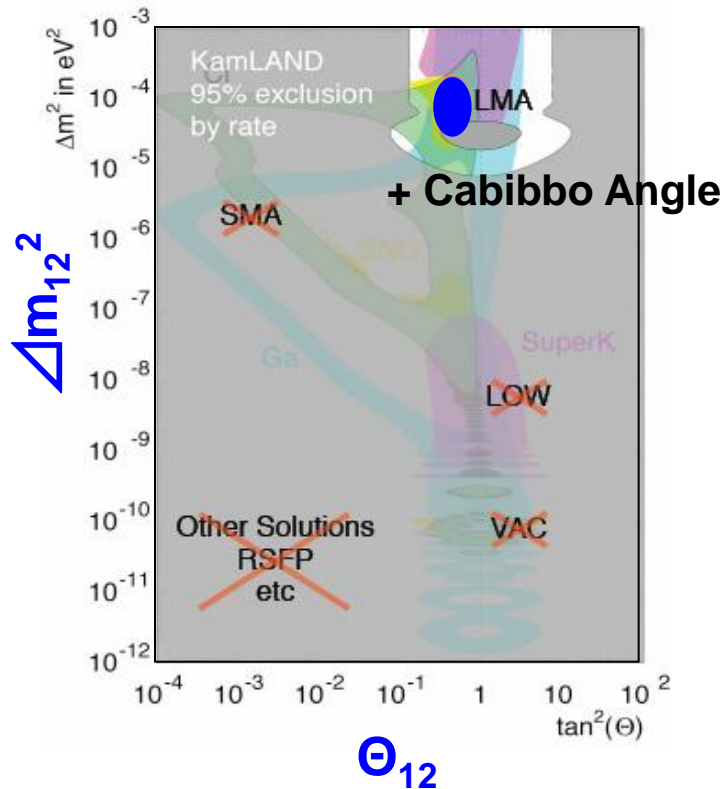
Taka KAJINO

National Astronomical Observatory

Dept of Astronomy, Grad School of Science, University of Tokyo  
[kajino@nao.ac.jp](mailto:kajino@nao.ac.jp), <http://www.cfca.nao.ac.jp/~kajino/>

# “KNOWN” Neutrino Oscillation Parameters

Super-K, SNO, KamLand (reactor  $\nu$ )  
determined  $\Delta m_{12}^2$  and  $\theta_{12}$  uniquely.



SN-neutrinos:

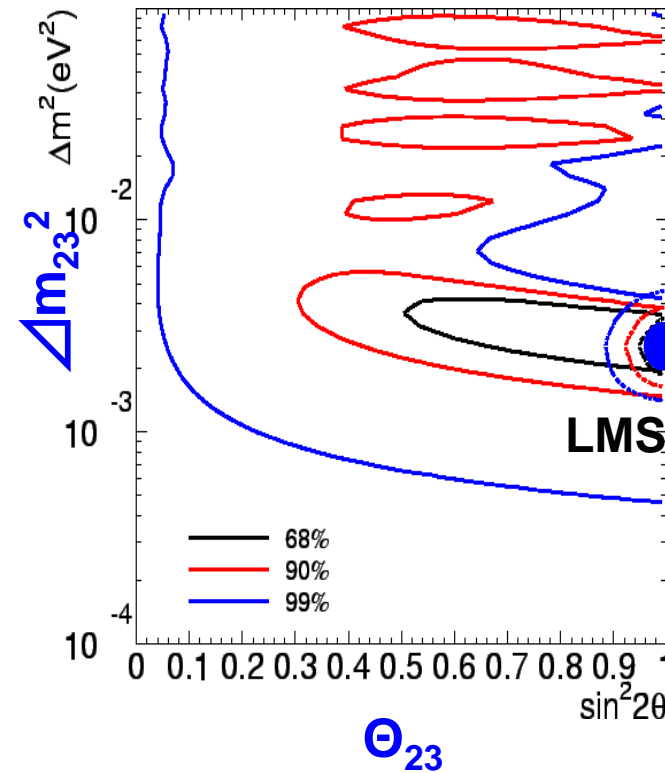
Yokomakura et al.  
PL B544, 286

**“Several UNKNOWNs”**

$$(1) \sin^2 2\theta_{13} < 0.1,$$

**(3)  $\delta = \text{CP phase},$**

Super Kamiokande (atmospheric  $\nu$ )  
determined  $\Delta m_{23}^2$  and  $\theta_{23}$  uniquely.

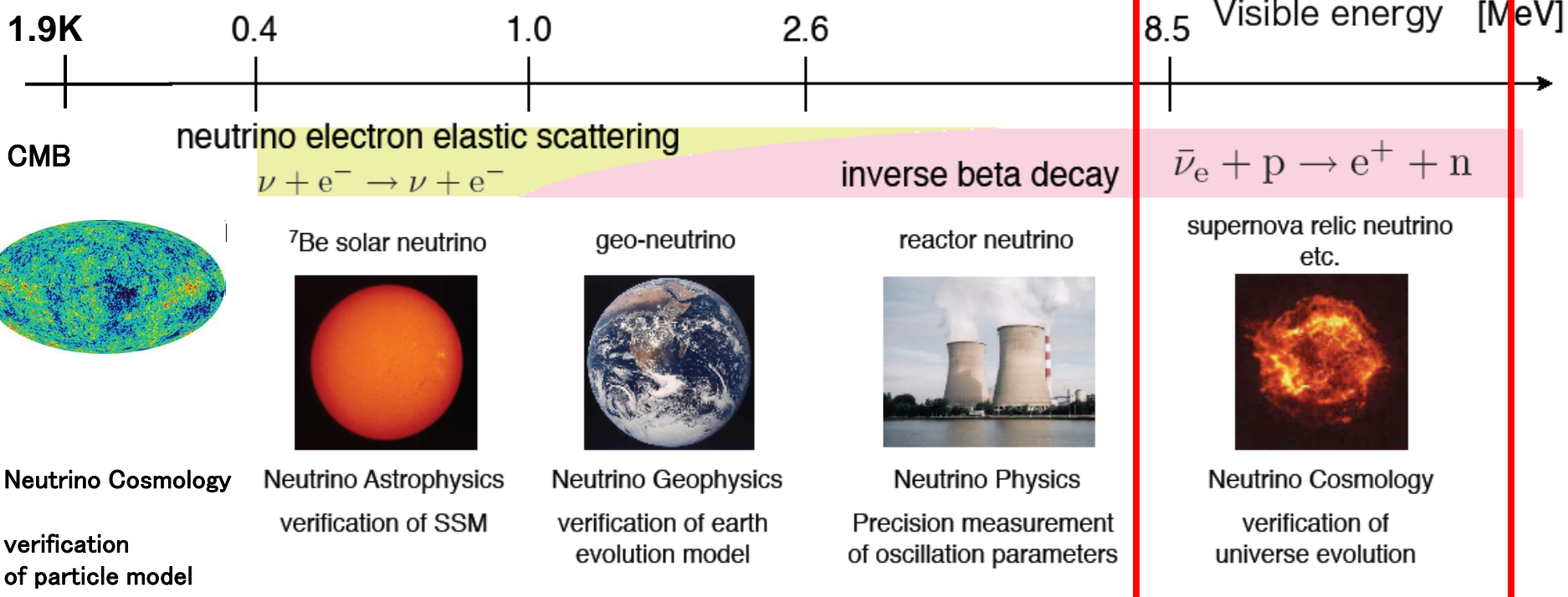


Cosmology  
 $\nu$ -less double  $\beta$ -decay

$$(2) |\Delta m_{13}^2| = 2.4 \times 10^{-3} \text{ eV}^2$$

**(4) Absolute Mass**

# Various Physics Targets with wide Neutrino-Energy Range



$\nu_e, \nu_\mu, \nu_\tau$

★ 観測に有利な( $\sigma = G_F E_\nu^2$ )高エネルギー neutrino

★ 三世代の neutrino(荷電力レント+中性力レント)が同時に出現



# SN1987Aニュートリノを KAMIOKANDE & IMB で検出！

小柴昌俊ら(東大, 1987)

消えた太陽(半電子型)ニュートリノの謎 Davisら

消えた大気(ミュー粒子型)ニュートリノの謎 梶田ら(東大)

解決案：3世代のニュートリノ( $\nu_e \nu_\mu \nu_\tau$ )は  
振動して互いに入れ替わる！

Pontecorvo (1957)、牧・中川・坂田 (1962)

振動の仕方が完全に解明されていない！ $\theta_{13}$ ,  $\Delta m_{13}$ ,  $\delta_{CP}$ ?

## 目的

超新星ニュートリノ物質振動(MSW)効果と  
元素合成を使って決定する方法の提案！

Wolfenstein (1978), Mikheyev & Smirnov (1986)

吉田・梶野ら(天文台/東大)

# Neutrino元素合成 ( $\nu$ -Process)

超新星ニュートリノ

→ 原始中性子星から  $N\nu \sim 10^{58}$

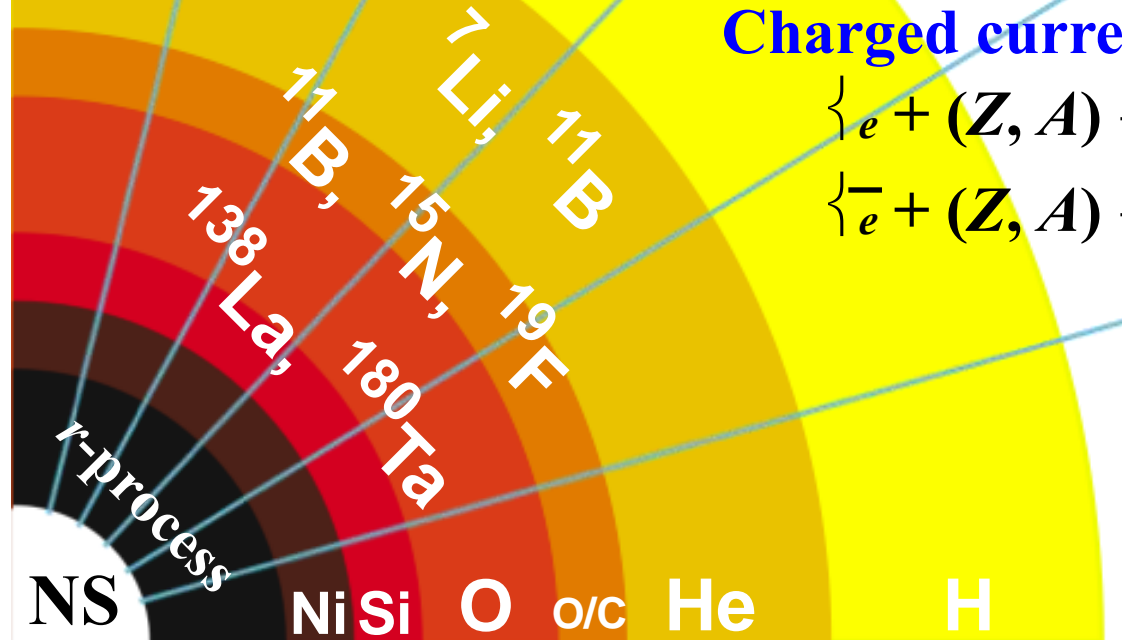
外層の原子核と相互作用: **The  $\nu$ -process**

(e.g., Woosley et al., 1990; WW95; Heger et al. 2005; Yoshida et al. 2004, 2005)

**Neutral current**反応



**Charged current**反応



$$T_{\nu e} = 3.2 \text{ MeV}$$

$$T_{\bar{\nu} e} = 4.0 \text{ MeV}$$

$$T_{\nu \mu \tau} = 6.0 \text{ MeV}$$

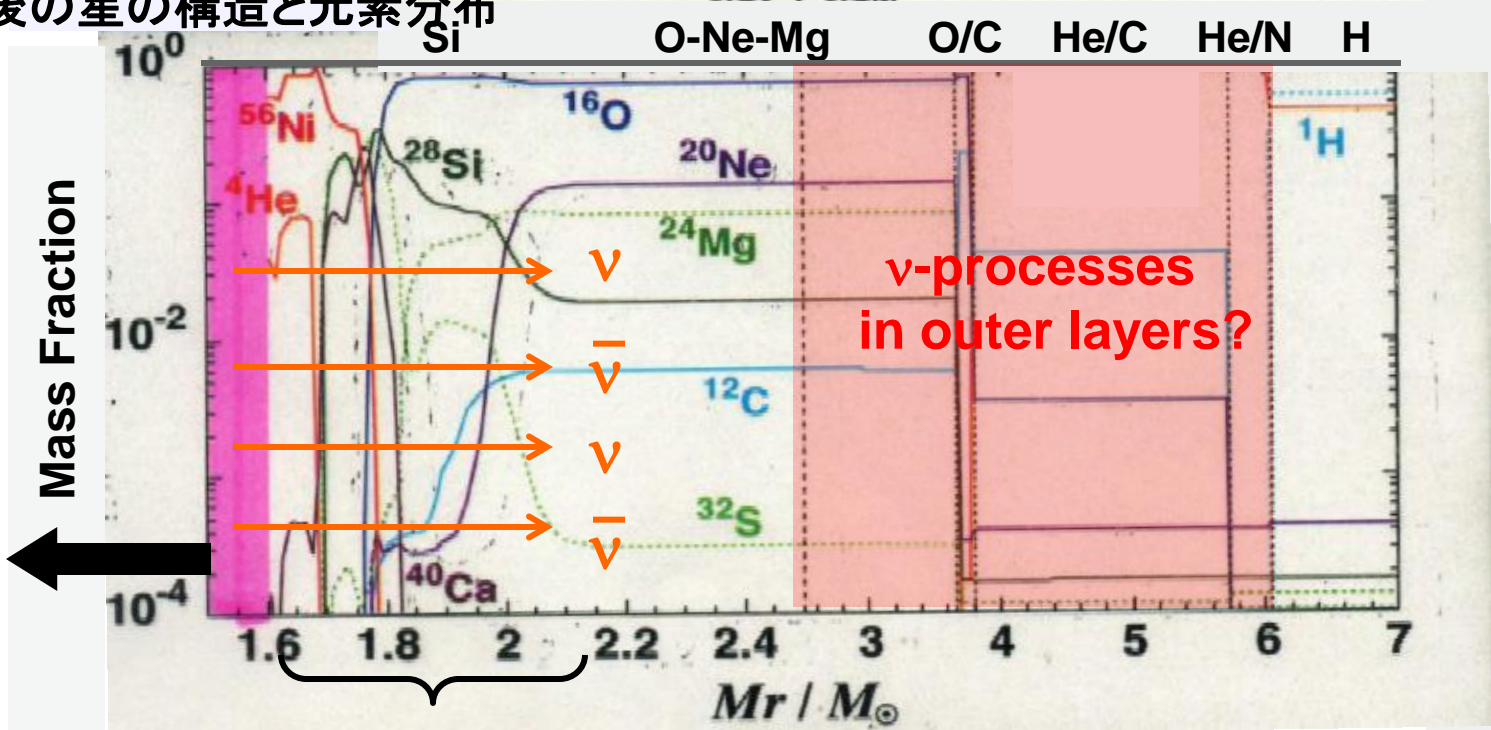
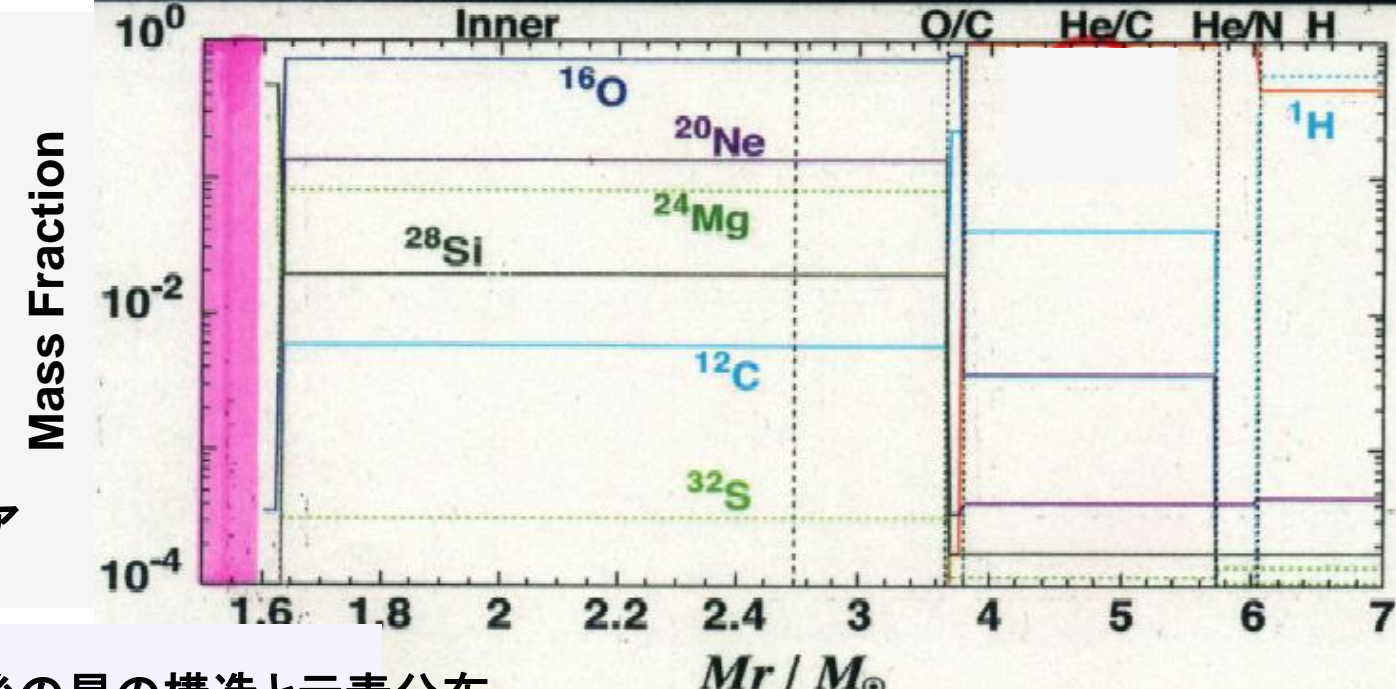
爆発直前

鉄・コバルト  
ニッケルのコア

超新星爆発前後の星の構造と元素分布  
Yoshida and  
Kajino (2005)

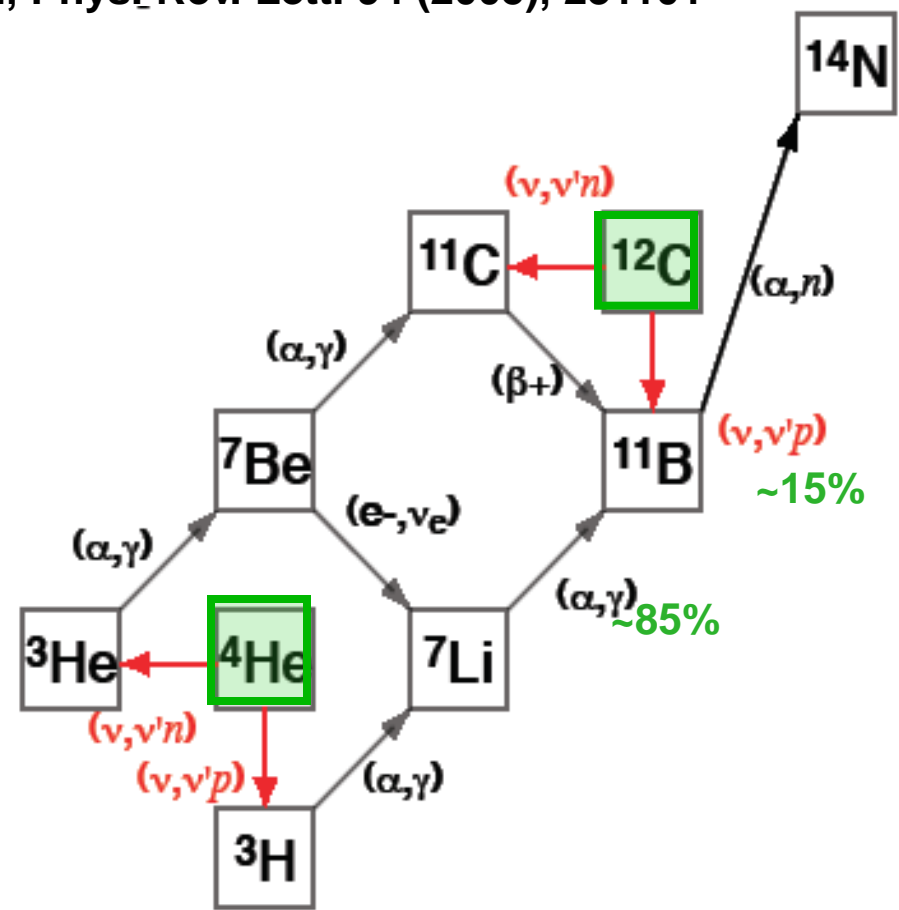
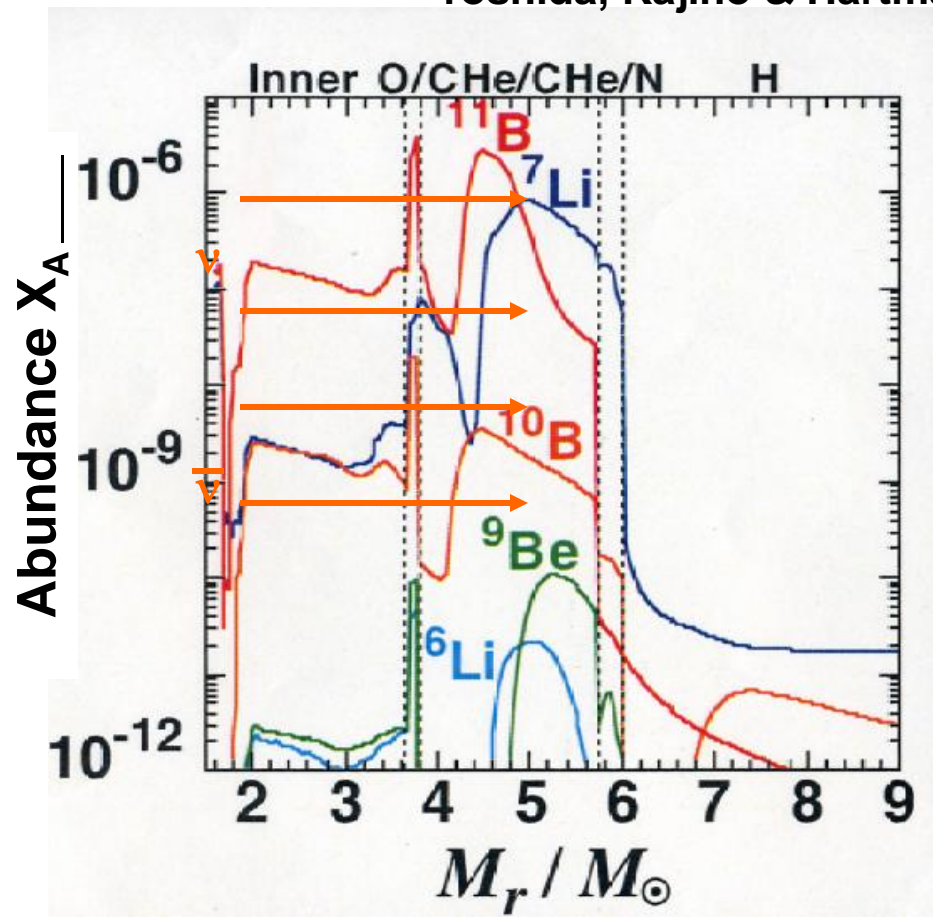
爆発直後  
(約10秒)

中性子星に  
重力崩壊  
1.4



# Supernova $\nu$ -Process & Key Reactions

Yoshida, Kajino & Hartman, Phys. Rev. Lett. 94 (2005), 231101



# 超新星元素合成モデル

Presupernova structure

SN 1987Aに対応した $16.2 M_{\odot}$ 恒星モデル

(Shigeyama & Nomoto 1990)

超新星爆発モデル

球対称爆発流体計算

爆発のエネルギー： $1 \times 10^{51}$  ergs

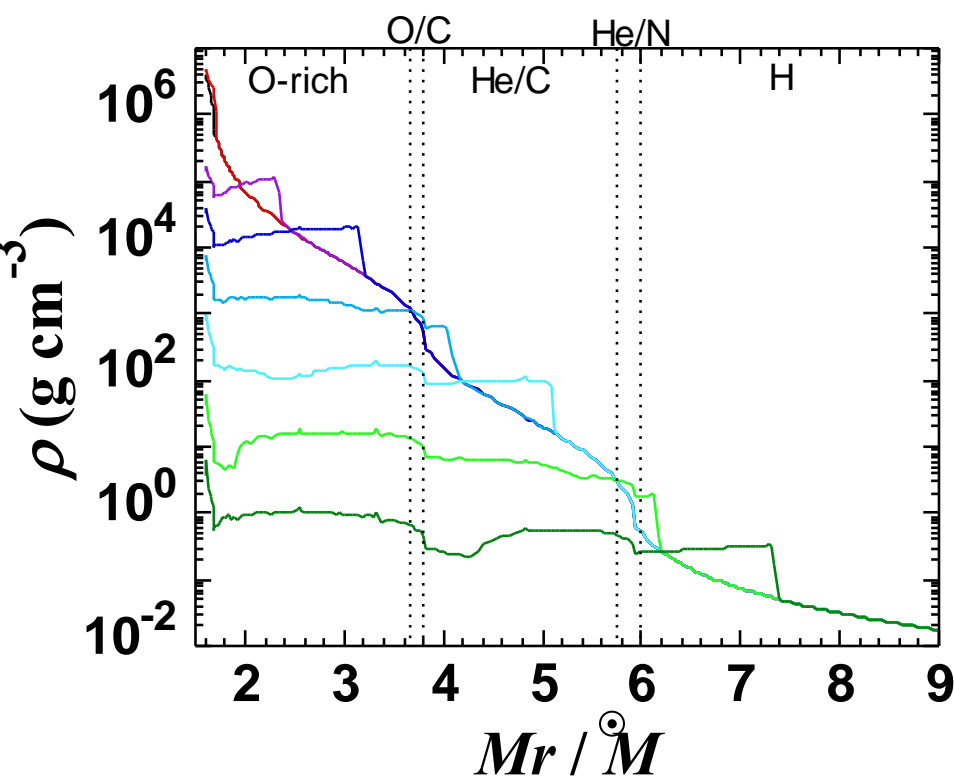
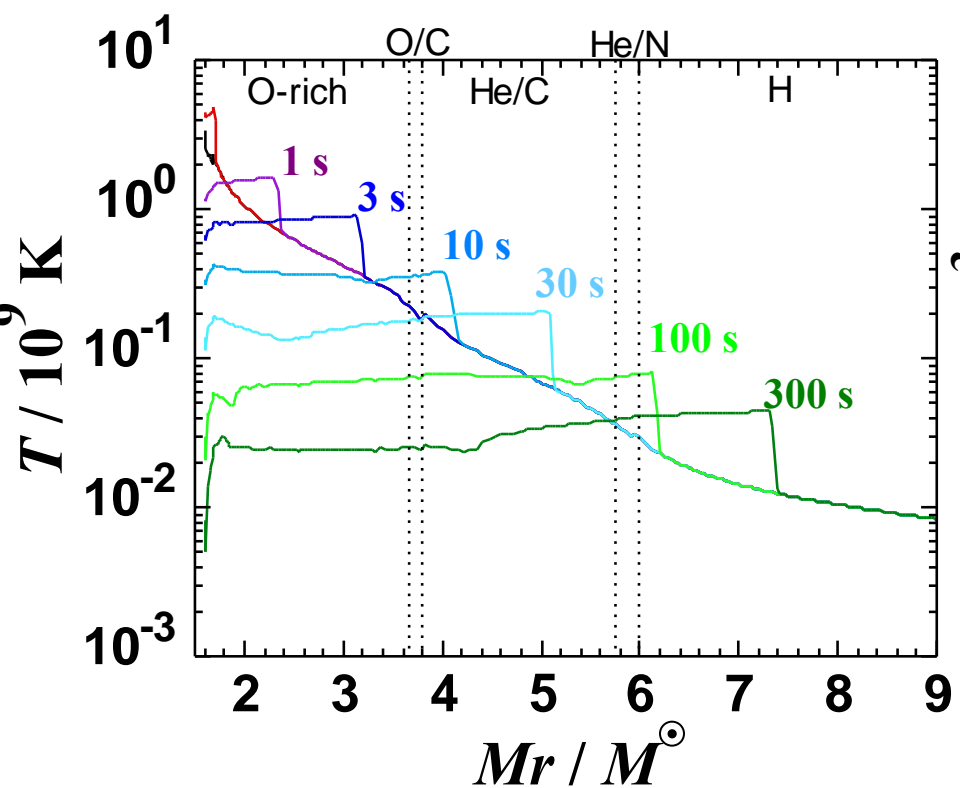
(Shigeyama et al. 1992)

元素合成計算

291核種からなる核反応ネットワーク

(Yoshida et al. 2004)

# 超新星爆発後の温度, 密度変化



# 超新星neutrinoモデルセッティング

Neutrino luminosity

$E\nu = 3 \times 10^{53}$  ergs (SN1987A)

$$L_{\nu i}(t) = \frac{1}{6} \frac{E\nu}{\tau_\nu} \exp\left(-\frac{t-r/c}{\tau_\nu}\right) \Theta(t-r/c) \quad \begin{matrix} \tau_\nu = 3 \text{ s} \\ \nu i: \nu e \mu \tau, \bar{\nu} e \mu \tau \end{matrix}$$

(After Woosley et al. 1990)

Neutrinosphereにおけるneutrino energy spectra

Fermi分布  $\eta_\nu = \mu_\nu / kT_\nu = 0$

$(kT\nu e, kT\bar{\nu} e, kT\nu \mu \tau) = (3.2 \text{ MeV}, 4 \text{ MeV}, 6 \text{ MeV})$

(Yoshida et al. 2004—2010, Hayakawa et al. 2010)

Neutrino振動パラメータ

Large Mixing Angle solution

$$\Delta m^2_{31} = \pm 2.4 \times 10^{-3} \text{ eV}^2, \Delta m^2_{21} = 7.9 \times 10^{-5} \text{ eV}^2$$

+: 順質量階層, -: 逆質量階層

(Based on SK 2004; SNO 2004; KamLAND 2005)

$$\sin^2 2\theta_{12} = 0.816, \sin^2 2\theta_{23} = 1$$

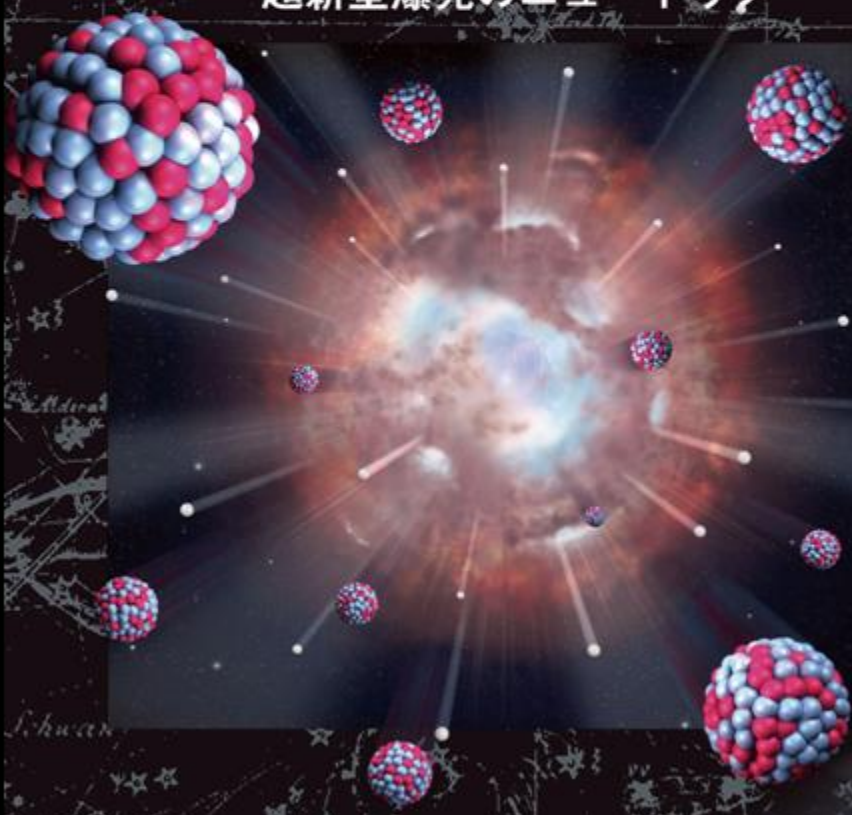
$$\sin^2 2\theta_{13} < 0.1 \quad (\text{Based on CHOOZ 2003; SK 2004; SNO 2004; KamLAND 2005})$$

# SN $\nu$ -spectra are now KNOWN !

CAMELopard  
SUGOROKU  
NAOJ

## 明日の談話会で議論

太陽系で最も希少な同位体タンタル 180 の起源は  
超新星爆発のニュートリノ

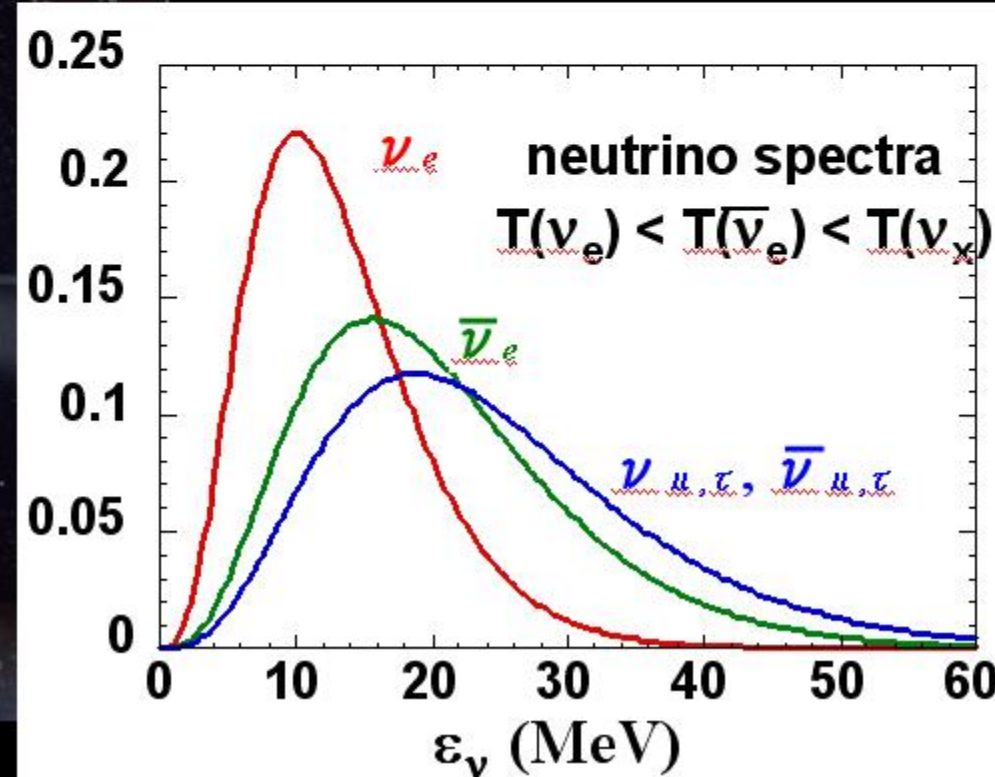


$$T(\nu_e) < T(\bar{\nu}_e) < T(\nu_x)$$

$$T(\nu_e) = 3.2 \text{ MeV}$$

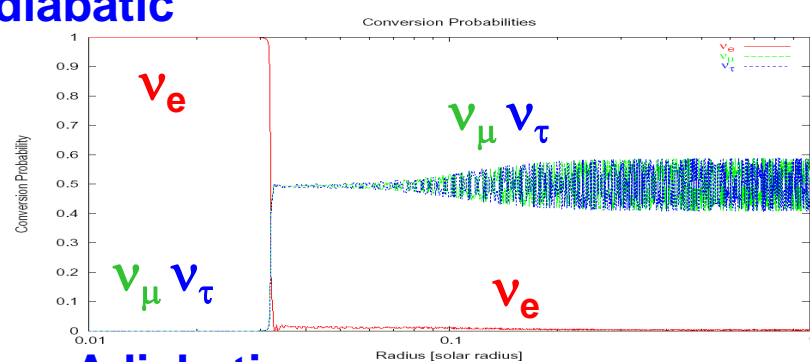
$$T(\bar{\nu}_e) = 4.0 \text{ MeV}$$

$$T(\nu_{\mu,\tau}) = T(\bar{\nu}_{\mu,\tau}) = 6.0 \text{ MeV}$$

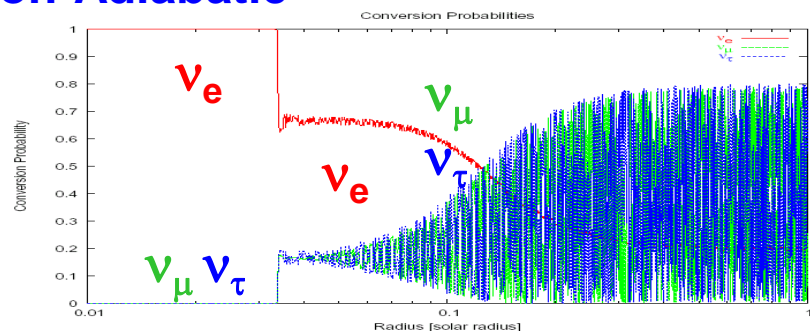


# SN-Neutrino Oscillation (MSW) Effect on $\nu$ -Process

Adiabatic



Non-Adiabatic



Parameters:

$25M_{\text{solar}}$  SN model (Hashimoto & Nomoto 1999)

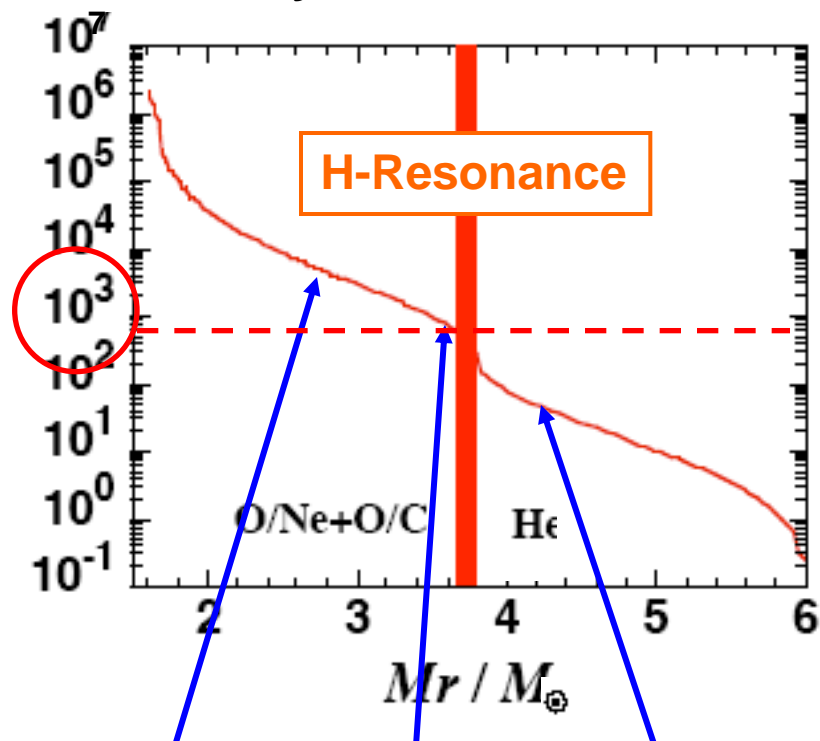
$$-\sin^2 2\theta_{13} = 0.04$$

$$-\Delta m_{13}^2 = 2.4 \times 10^{-3} \text{ eV}^2$$

$$-L_\nu = 3 \times 10^{53} \text{ erg}, \tau_\nu = 3 \text{ sec}$$

$$-E_{\nu_e} = 12 \text{ MeV}, E_{\bar{\nu}_e} = 20 \text{ MeV}, E_{\nu_{\mu\tau}} = 24 \text{ MeV}$$

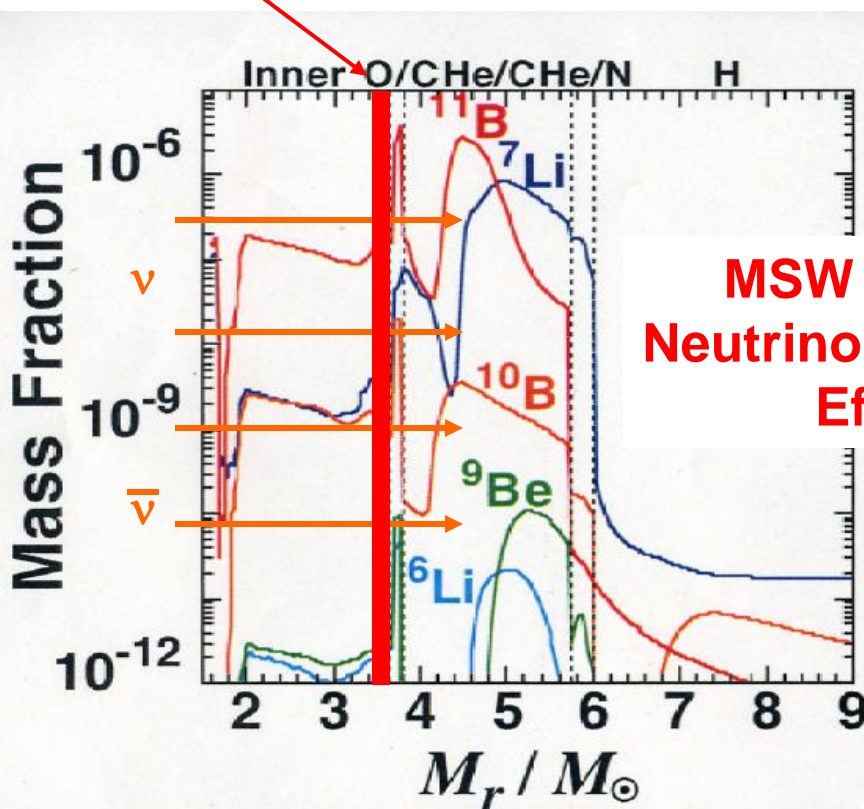
Supernova Density Profile & Resonance



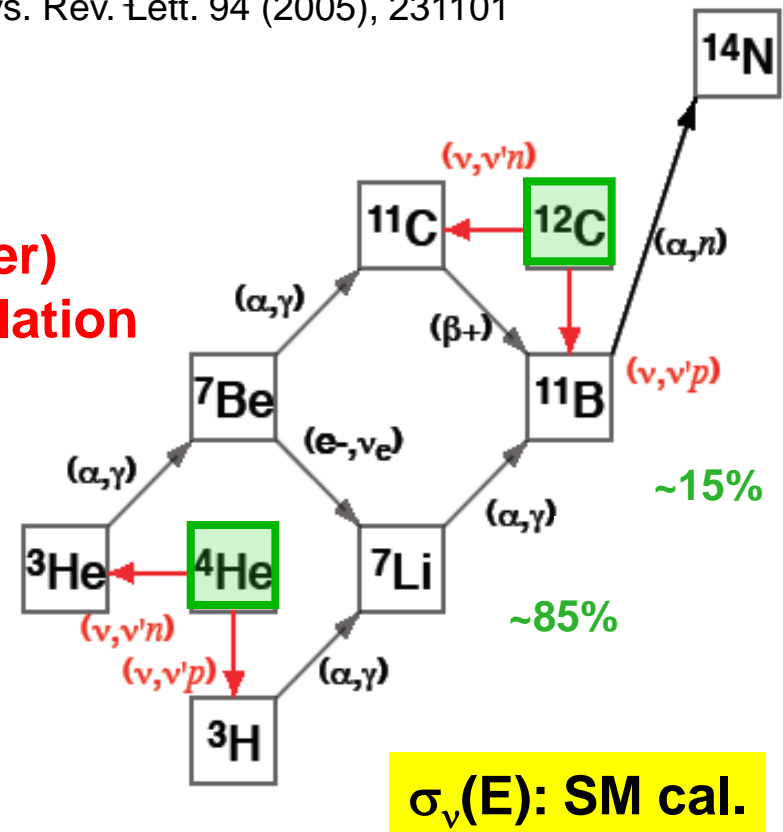
Fermi-Dirac distr. of  $\nu$ -spectrum,  
so that the observed  $^{11}\text{B}$  abundance  
in Supernova Nucleosynthesis is reproduced.

# Supernova $\nu$ -Process & Key Reactions

H-Resonance



Yoshida, Kajino & Hartman,  
Phys. Rev. Lett. 94 (2005), 231101



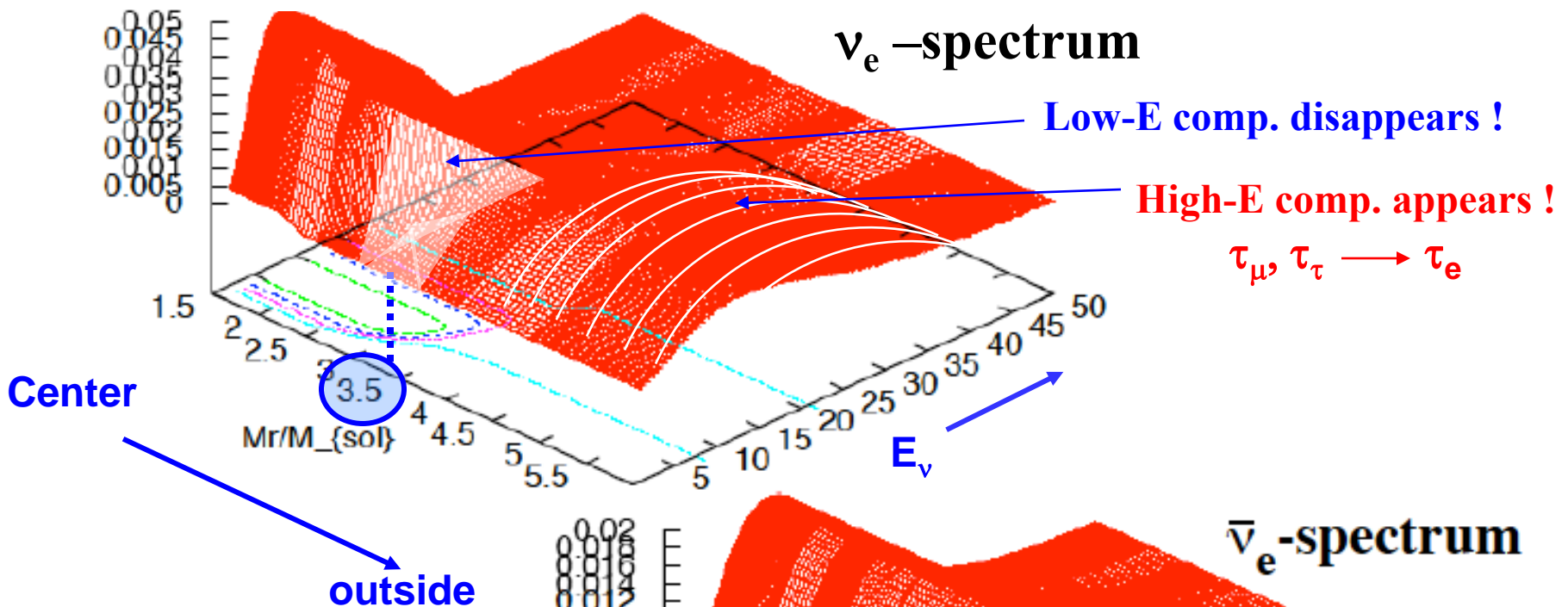
Additional Charged Current Int.



$^4\text{He}(\nu_e, e^- p)^3\text{He}$  &  $^4\text{He}(\bar{\nu}_e, e^+ n)^3\text{H}$

energetic

# Neutrino Oscillation (MSW Effect) through propagation



Parameters:

25M<sub>solar</sub> progenitor SN model  
(Hashimoto & Nomoto 1999)

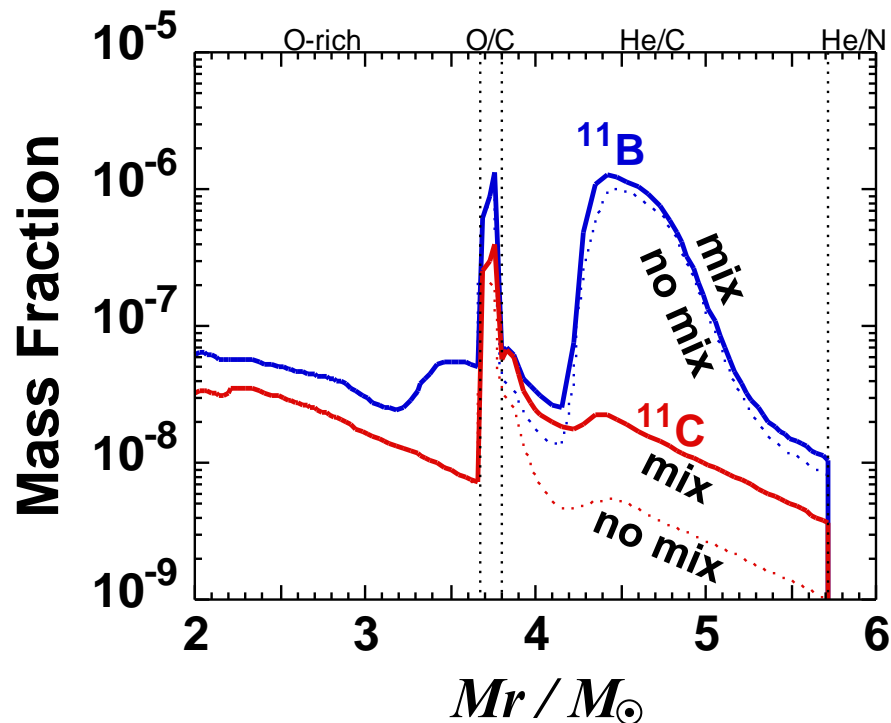
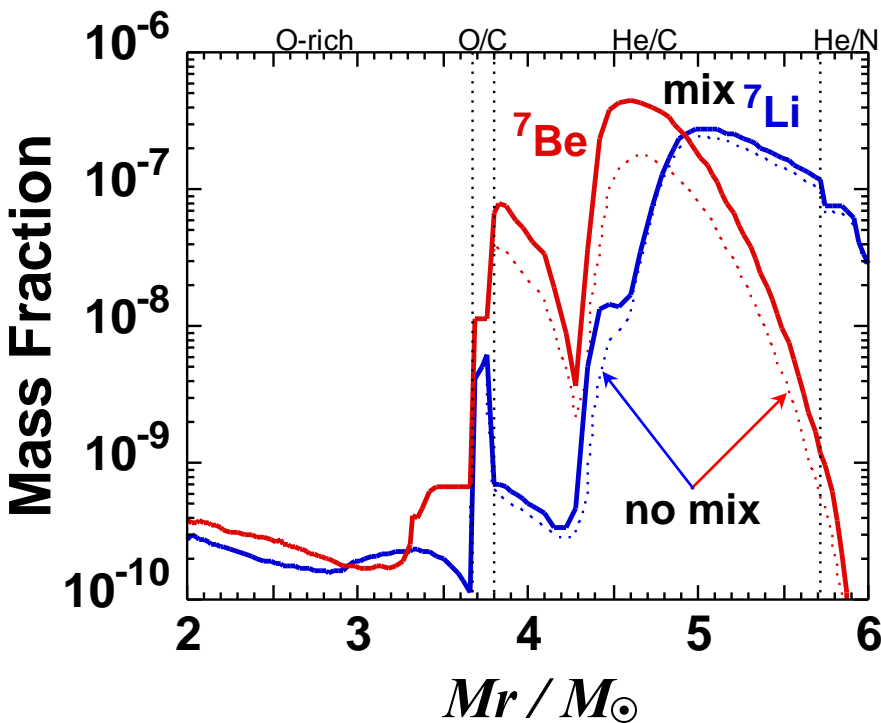
- $\sin^2 2\theta_{13} = 0.04$
- $\Delta m_{13}^2 = 2.4 \times 10^{-3}$  eV<sup>2</sup>
- $L_\nu = 3 \times 10^{53}$  erg,  $\tau_\nu = 3$  sec
- $T_{\nu e} = 3.2$  MeV,  $T_{\bar{\nu} e} = 5.0$  MeV,  $T_{\nu \mu \tau} = 6.0$  MeV

# SN Nucleosynthesis with Neutrino Oscillations

- Supernova nucleosynthesis ( $\nu$ -process)

16.2  $M_{\odot}$  star supernova model corresponding to SN 1987A

**Normal mass hierarchy,  $\sin^2 2\theta_{13} = 0.01$**



- $^{7}\text{Be}$ ,  $^{11}\text{C}$  abundance  $\rightarrow$  Increase by a factor of 2.5 and 1.4  
← Increase in the rates of charged-current reactions  
 $^{4}\text{He}(\nu_e, e^- p)^3\text{He}$  and  $^{12}\text{C}(\nu_e, e^- p)^{11}\text{C}$  in the He layer

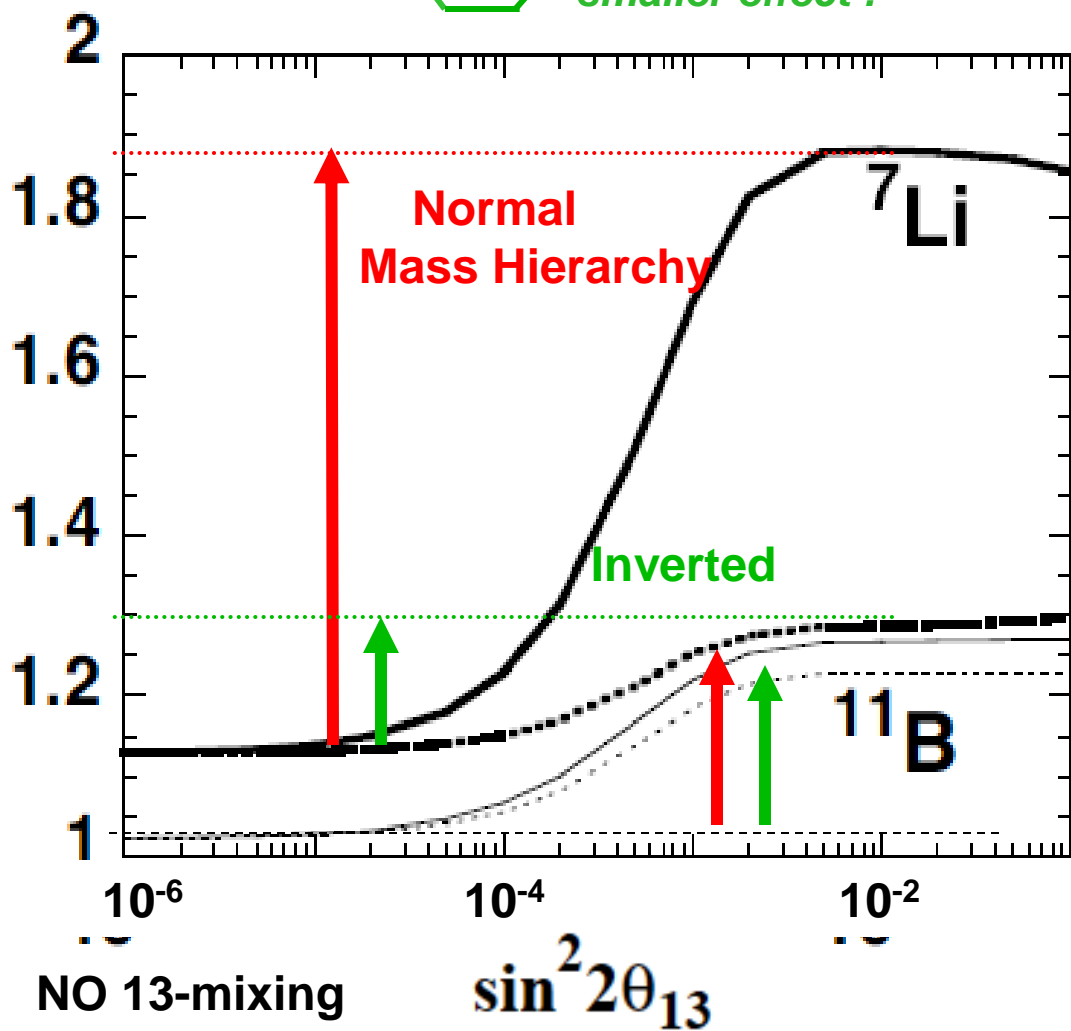
*larger effect !*

$$T_{\nu e} < T_{\bar{\nu} e} < T_{\nu \mu \tau, \bar{\nu} \mu \tau}$$

||      ||      ||

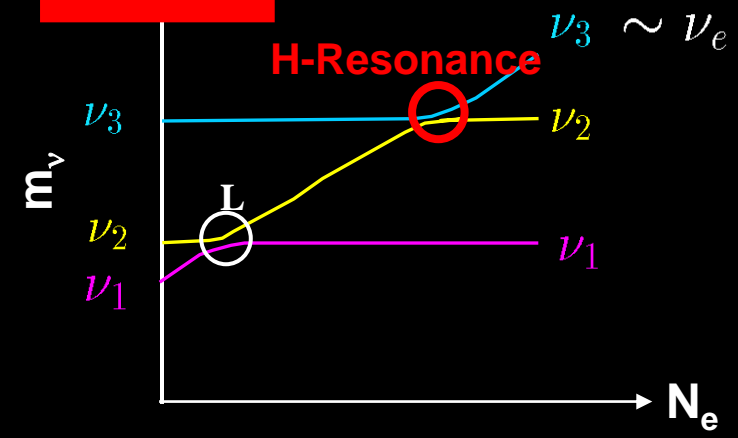
$$3.2 \text{ MeV} \quad 5.0 \text{ MeV} \quad 6.0 \text{ MeV}$$

*smaller effect !*

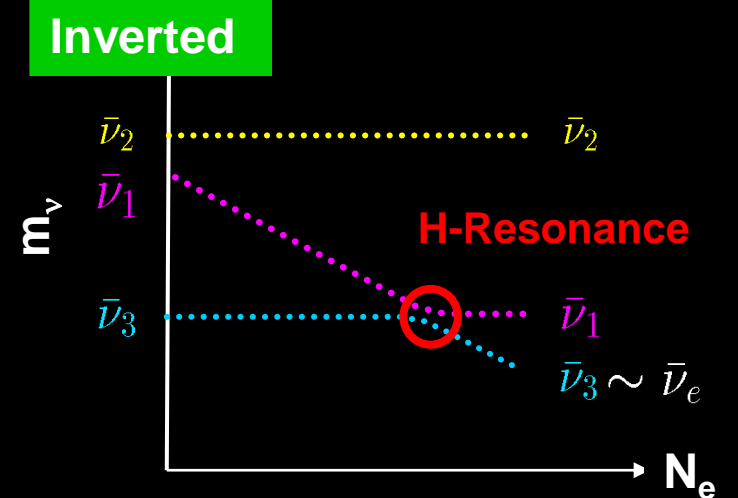


Yoshida, Kajino, Yokomakura, Kimura, Takamura & Hartmann,  
PRL 96 (2006) 09110; ApJ 649 (2006), 349.

Normal

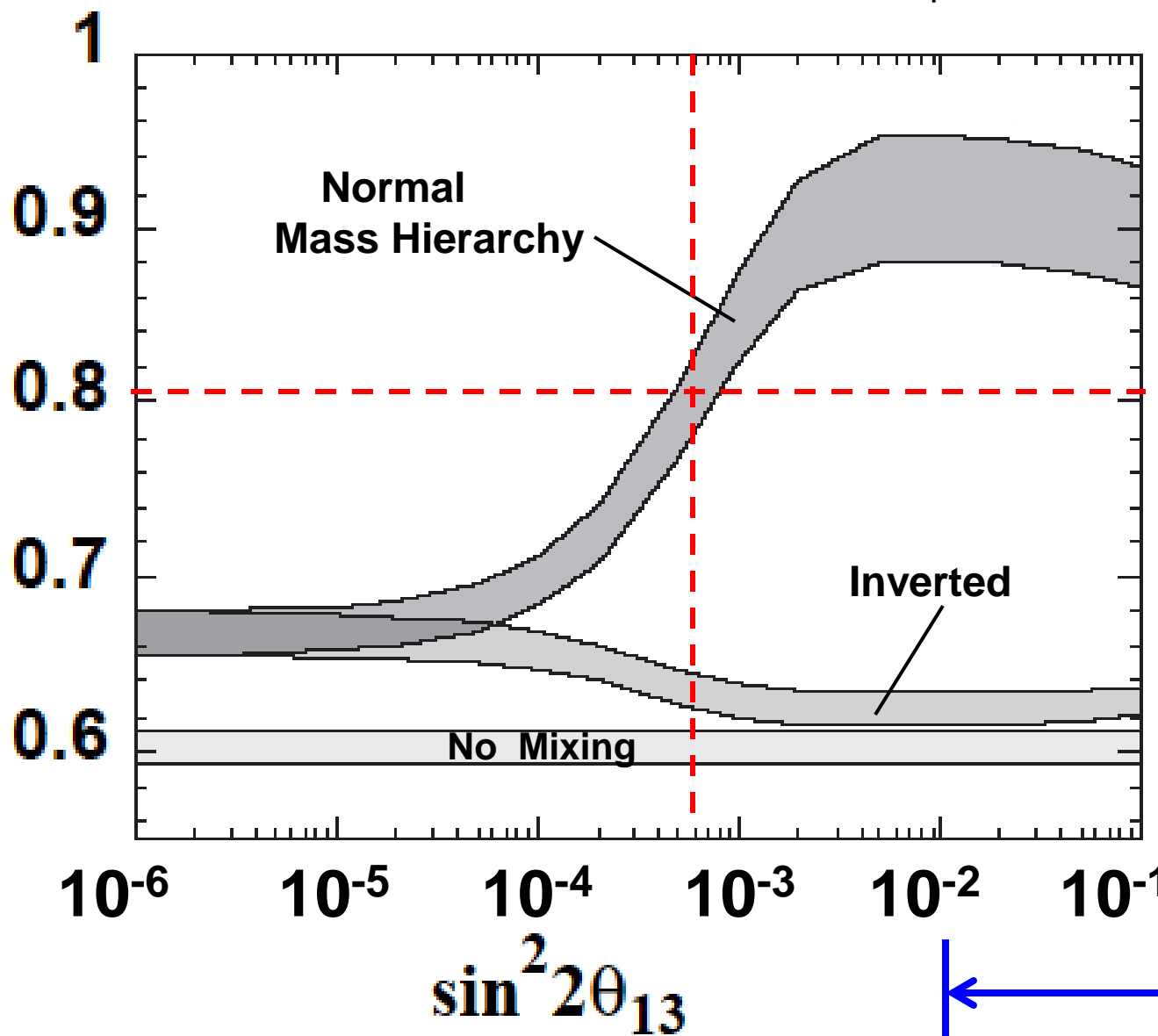


Inverted



# ${}^7\text{Li}/{}^{11}\text{B}$ - Ratio

MSW Effect: Wolfenstein 1978, PR D17, 2369; Mikheyev & Smirnov 1986, Sov. J. Nucl. Phys. 42, 913.  
Yoshida, Kajino et al., 2005, PRL94, 231101; 2006, PRL 96, 091101; 2006, ApJ 649, 319; 2008 ApJ 686, 448.



**Astrophysics:**  
**Mass Hierarchy**  
 $\Delta m_{13}^2$   
**13-Mixing Angle**  
 $\theta_{13}$   
 $\uparrow \downarrow$   
**Long Baseline Exp:**  
T2K (Kamioka)  
T2KK (KOREA)  
Double CHOOZ  
Daya Bay

# $^{7}\text{Li}/^{11}\text{B}$ -理論予測の検証観測の提案

## (1) 大望遠鏡、宇宙望遠鏡による超新星の光学的観測

$^{11}\text{B}$  吸収線  $\sim 2497 \text{ \AA}$  (宇宙望遠鏡)

$^{11}\text{B}/^{10}\text{B}$ , 金属欠乏星で観測に成功! Rebull et al. ApJ 507 (1998) 387; Proc. (2000)

$^{7}\text{Li}$  吸収線  $\sim 6708 \text{ \AA}$  (すばる望遠鏡)

$^{7}\text{Li}$  &  $^{7}\text{Li}/^{6}\text{Li}$ , 金属欠乏星で観測に成功!

Many observations (1982 – present)

超新星1987A 残骸  
未測定



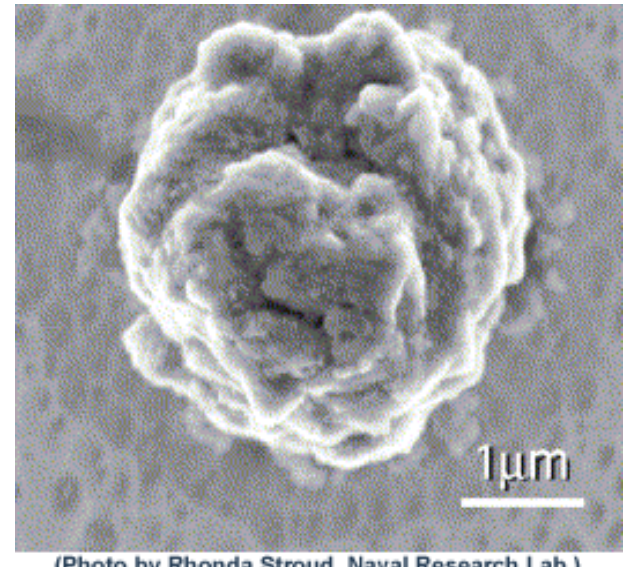
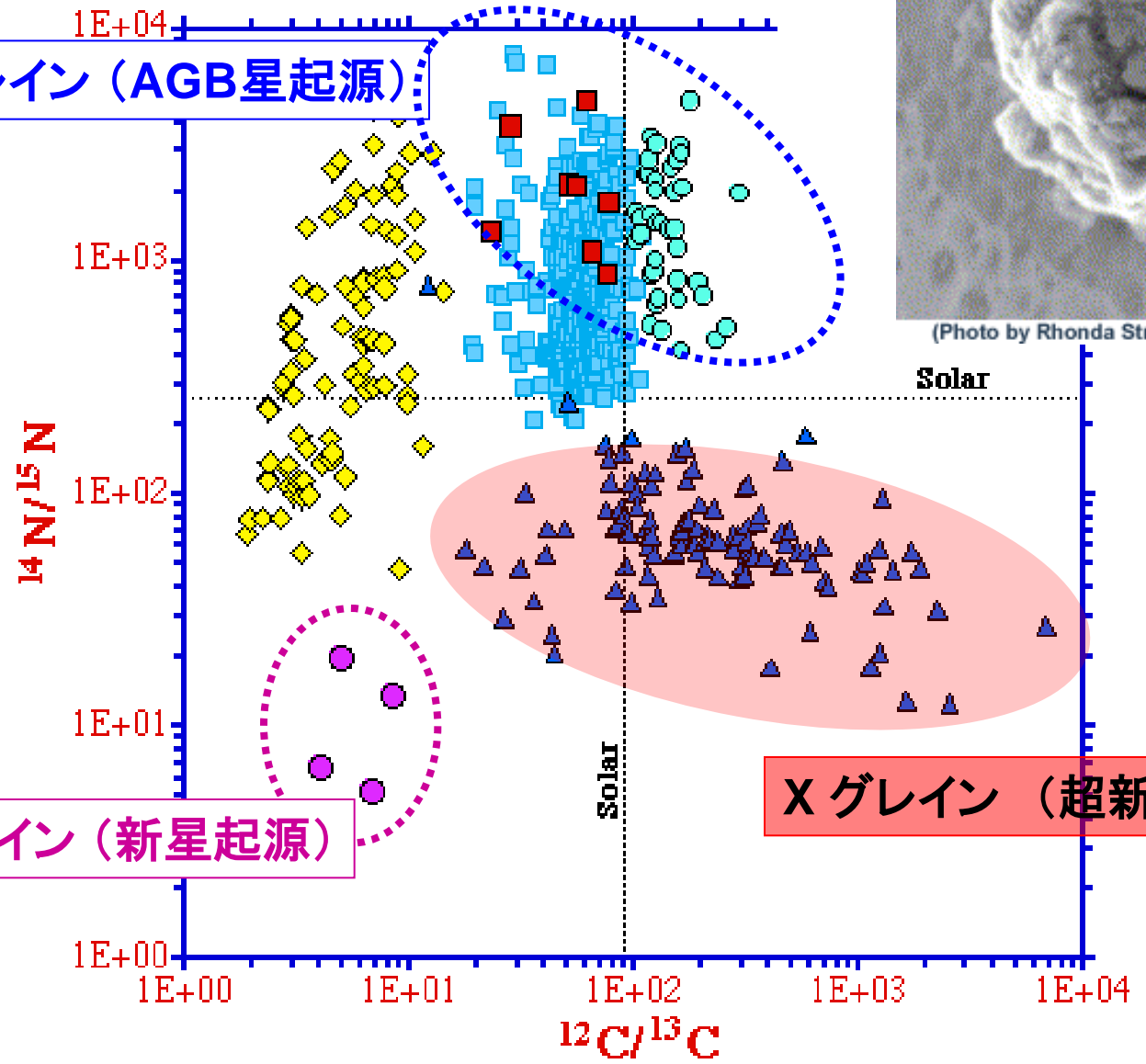
かに星雲(超新星残骸)  
未測定



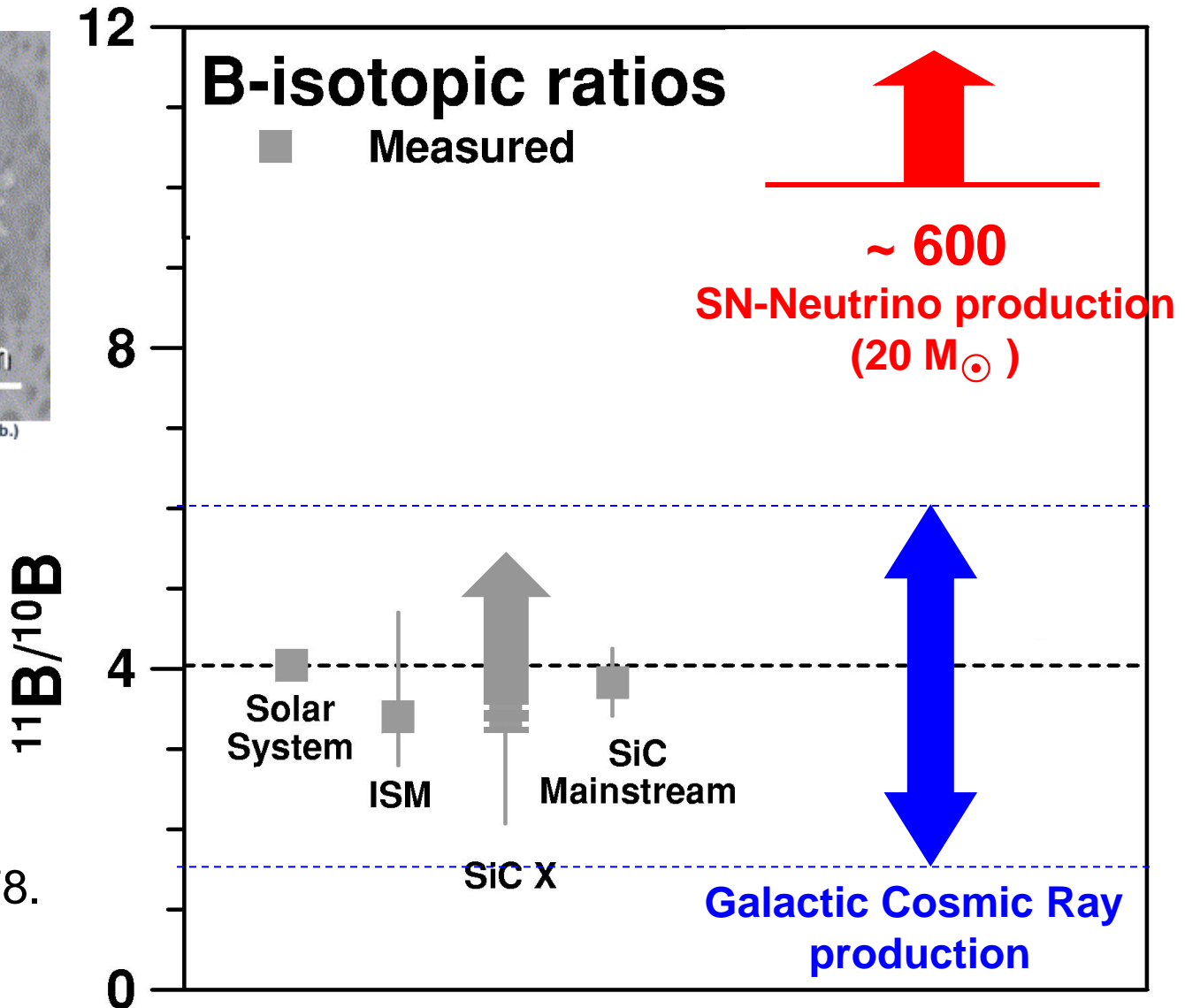
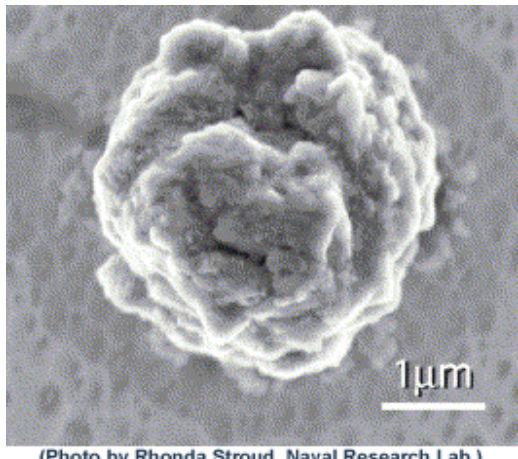
金属欠乏星の観測  
測定成功



## (2) プレソーラーグレイン(シリコンカーバイト)の分析



# Presolar SiC X-grains from SNe



P. Hoppe et al.  
ApJ 551 (2001) 478.

# SUMMARY

2. SN  $\nu$ -process on Li-Be-B isotopic ratios are sensitive measure of the MSW effect in order to determine the unknown  $\nu$ -oscillation parameter  $\theta_{13}$  and mass hierarchy of active  $\nu_e$ ,  $\nu_\mu$ ,  $\nu_\tau$ .

X(SN)-grains search & SN-remnant spectr. obs.